

колебания массы $M_{II_k}^* = M_{II_k} + m_k^*$ и определяется собственная частота ω_{k2} :

$$\omega_{k2}^2 = c_k / M_{II_k}^* = c_k \left/ \sum_{i=k}^n (m_i + m_k^*) \right.. \quad (14)$$

(k+2) - й этап. Из соотношений (13), (14) получим формулы для определения искомых параметров m_k, c_k :

$$m_k = m_k^* \frac{\omega_{k2}^2}{\omega_{k1}^2 - \omega_{k2}^2} - \sum_{i=k+1}^n m_i, \quad (15)$$

$$c_k = m_k \omega_{k1}^2 + \omega_{k1}^2 \sum_{i=k+1}^n m_i = m_k^* \frac{\omega_{k1}^2 \omega_{k2}^2}{\omega_{k1}^2 - \omega_{k2}^2}. \quad (16)$$

Для получения явного соотношения для m_k согласно (15) следует принять во внимание соотношение (8).

Структуры для формирования алгоритма параметрической идентификации модели в виде консервативной МКС с n степенями свободы приведены на рис.2.

Таким образом, в работе обоснован подход, сформулирован метод и приведен алгоритм при введении ограничений на топологию распределения масс в колебательной системе с конечным числом степеней свободы, позволяющие решить задачу параметрической идентифицируемости.

SUMMARY

The research gives a valid approach, formulated theorem and algorithm on setting limits for topology of mass distribution in mechanical oscillation systems with finite number of natural exponents that enables to solve problems of parametric identifiability.

СПИСОК ЛИТЕРАТУРЫ

- Божко А.Е., Личкатый Е.А., Полящук О.Ф. и др. Резонансные виброиспытательные системы/ Под ред. А.Е. Божко:АН Украины, ин-т проблем машиностроения. - Киев: Наук. думка, 1992. - 248 с.
- Редько С.Ф., Ушаков В.Ф., Яковлев В.П. Идентификация механических систем. Определение динамических характеристик и параметров. -Киев: Наук. думка, 1985.- 216 с.
- Бидерман В.Л. Теория механических колебаний.- М.: Высш. школа, 1980.- 408с.

Поступила в редакцию 21 сентября 1998 г.

УДК 539.4: 620.178.32

К ВОПРОСУ ПАРАМЕТРИЧЕСКОЙ КОРРЕКЦИИ ЭЛЕКТРОДИНАМИЧЕСКИХ ВИБРОВОЗБУДИТЕЛЕЙ

И.Д.Пузько, доц.

При разработке систем воспроизведения вибраций на основе вибростендов электродинамического типа (ЭДВ) необходимо обеспечить постоянство амплитудно-частотных характеристик (АЧХ) в возможно

более широком диапазоне частот [1,2,3].

Однако в известных исследованиях коррекции АЧХ ЭДВ уделено недостаточно внимания. Поэтому разработанные устройства на основе ЭДВ не удовлетворяют в полном объеме требованиям практики [1,2,3].

Результаты фундаментальных исследований, приведенные в [2], позволяют значительно расширить класс задач параметрической коррекции ЭДВ за счет учета частотного диапазона воспроизведимых вибраций и влияния характера крепления испытуемого объекта на модель подвижной системы ЭДВ.

Однако некоторые аспекты вопросов параметрической коррекции остались вне поля зрения исследователей.

Проведем анализ и представим алгоритмы для формирования структурных схем параметрической коррекции ЭДВ для различного типа моделей ЭДВ, которые определяются диапазоном частот воспроизведимых вибраций.

Случай 1 Коррекция для упрощенной модели ЭДВ в виде неоднородного дифференциального уравнения второго порядка

$$m\ddot{x} + b\dot{x} + cx = F(t) \quad (1)$$

или в операторной форме

$$(mp^2 + bp + c)x(p) = F(p). \quad (2)$$

Сформируем операционное изображение сигнала после преобразования с выхода задающего генератора

$$V_e(p) = (k_1 p^2 + k_2 p + k_3) V_f(p). \quad (3)$$

Сравнивая (2) и (3), получим соотношение

$$V_f(p)/x(p) = (k_1 p^2 + k_2 p + k_3)/(mp^2 + bp + c). \quad (4)$$

При условии $k_1 = m$, $k_2 = b$, $k_3 = c$ из (4) следует соотношение

$$V_f(p) = x(p). \quad (5)$$

При изменении инерционно-жесткостных и диссипативных параметров:

$$m^* = m \pm \Delta m, \quad b^* = b \pm \Delta b, \quad k^* = k \pm \Delta k \quad (6)$$

уравнение (2) принимает вид

$$[p^2(m \pm \Delta m) + p(b \pm \Delta b) + (c \pm \Delta c)]x(p) = F(p) \pm \Delta F(p) = F^*(p). \quad (7)$$

Для выполнения условия (5) необходимо скорректировать операционное изображение сигнала $V_e(p)$ за счет изменения коэффициентов k_1, k_2, k_3 и сформировать $V_e^*(p)$ в виде

$$V_e^*(p) = V_e(p) \pm \Delta V(p) = [p^2(k_1 \pm \Delta_1 k) + p(k_2 \pm \Delta_2 k) + (k_3 \pm \Delta_3 k)]V_f(p). \quad (8)$$

Для выполнения условия $V_e^*(p) = F^*(p)$ при учете (7), (8) необходимо обеспечить систему равенств:

$$\left. \begin{aligned} m \pm \Delta m &= k_1 \pm \Delta_1 k, \\ b \pm \Delta b &= k_2 \pm \Delta_2 k, \\ c \pm \Delta c &= k_3 \pm \Delta_3 k. \end{aligned} \right\} \quad (9)$$

Выполнение условия

$$V_F \pm \Delta V_F = x \pm \Delta x \quad (10)$$

обеспечивается структурной схемой, приведенной на рис. 1, где введены обозначения: ЗГ - задающий генератор периодических сигналов; СМ - сумматор; УМ - усилитель мощности; БОС - блок обратной связи; ВИП - вибропримесительный преобразователь перемещения; БД_i ($i = \overline{1,4}$) - блоки дифференцирования; УС_i ($i = \overline{1,3}$) - усиленные с регулируемыми коэффициентами усиления; СУ_i ($i = \overline{1,3}$) - согласующие усилители; В_i ($i = \overline{1,6}$) - выпрямители; Φ_i ($i = \overline{1,6}$) - сглаживающие фильтры; БС_i ($i = \overline{1,3}$) - блоки сравнения.

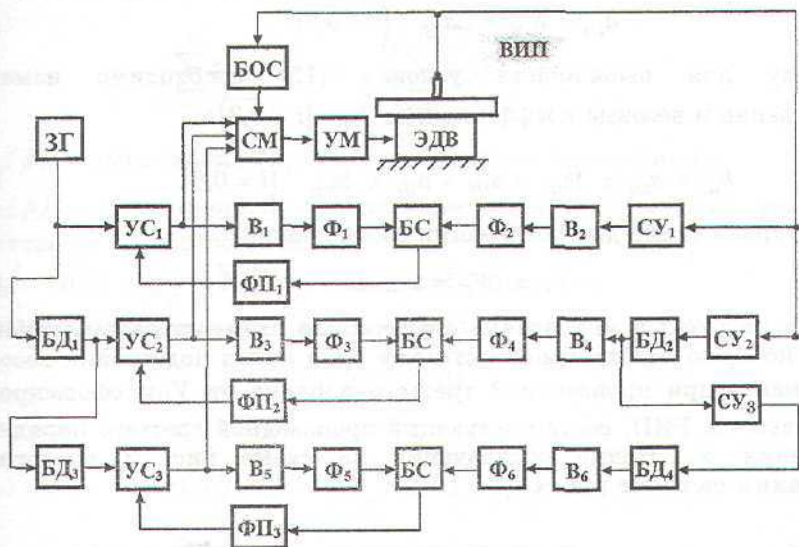


Рисунок 1

Случай 2 Коррекция для модели в виде неоднородного дифференциального уравнения третьего порядка, соответствующего низкочастотной области воспроизведения вибраций.

Операционное изображение уравнения в этом случае имеет вид [1,2]

$$\left(\sum_{i=0}^3 a_{iH} p^i \right) x(p) = F(p), \quad (11)$$

где a_{iH} - коэффициенты, зависящие от параметров ЭДВ.

Для решения задачи параметрической коррекции операционное изображение сигнала на выходе ЗГ следует скорректировать в соответствии с операционным изображением необходимого для этого случая силового воздействия (11)

$$\left(\sum_{i=0}^3 k_{iH} p^i \right) V_F(p) = V_y(p), \quad (12)$$

где k_{iH} ($i = \overline{0,3}$) - весовые коэффициенты.

Из (11), (12) следует, что выполнение условия

$$V_y(p) = F(p) \quad (13)$$

или

$$V_F(p)/x(p) = \sum_{i=0}^8 k_{iH} p^i / \sum_{i=0}^8 a_{iH} p^i \quad (14)$$

обеспечивается при такой настройке коэффициентов k_{iH} , которая приводит к равенству коэффициентов в соотношениях (11), (12)

$$k_{iH} = a_{iH} \quad (i = \overline{0,3}). \quad (15)$$

При изменении параметров ЭДВ изменяются коэффициенты a_{iH} ($i = \overline{0,3}$) в соотношении (11):

$$a_{iH}^* = a_{iH} \pm \Delta a_{iH} \quad (i = \overline{0,3}). \quad (16)$$

Поэтому для выполнения условия (15) необходимо изменить соответственно и весовые коэффициенты k_{iH} ($i = \overline{0,3}$):

$$k_{iH}^* = k_{iH} \pm \Delta k_{iH} = a_{iH}^* = a_{iH} \pm \Delta a_{iH} \quad (i = \overline{0,3}). \quad (17)$$

Структурная схема для реализации соотношения

$$V_F \pm \Delta V_F = x \pm \Delta x \quad (18)$$

приведена на рис.2 и аналогична структурной схеме, представленной на рис. 1, в которую необходимо ввести еще один канал подстройки весового коэффициента при производной третьего порядка от V_F и сформировать сигнал с выхода ВИП, соответствующий производной третьего порядка от перемещения x . Новые обозначения на схеме рис. 2 аналогичны обозначениям на схеме рис. 1.

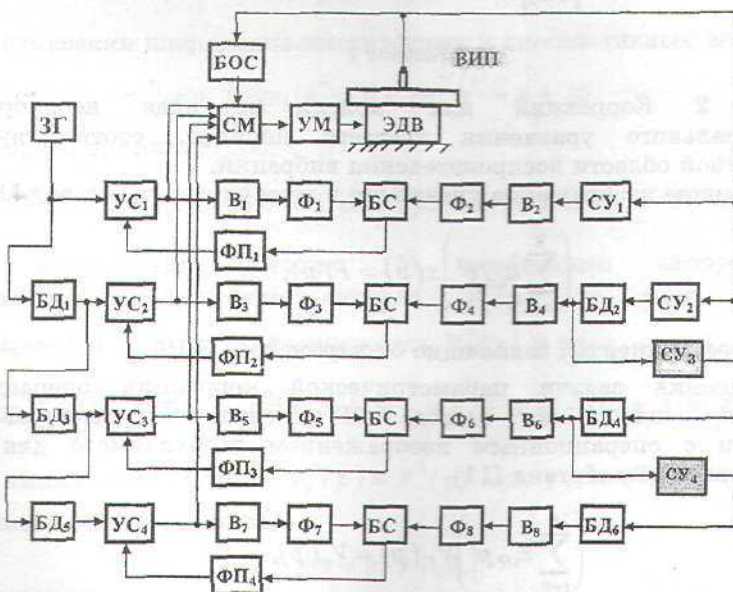


Рисунок 2

Случай 3 Коррекция для модели в виде неоднородного дифференциального уравнения пятого порядка, соответствующего высокочастотной области воспроизведения вибраций.

Операционное изображение уравнения, описывающего динамику ЭДВ, в этом случае имеет вид [1,2]

$$\left(\sum_{i=0}^5 a_{iB} p^i \right) x(p) = \left(\sum_{j=0}^1 b_{jB} p^j \right) F(p), \quad (19)$$

где a_{iB} ($i = \overline{0,5}$), b_{jB} ($j = \overline{0,1}$) - коэффициенты, определяемые параметрами ЭДВ. Выражения для этих коэффициентов приведены в [1,2].

Для решения задачи параметрической коррекции операционное изображение сигнала V_y с выхода задающего генератора должно иметь вид, соответствующий соотношению (19)

$$\left(\sum_{i=0}^5 k_{iB} p^i \right) V_r(p) = \left(\sum_{j=0}^1 d_{jB} p^j \right) V_y(p), \quad (20)$$

где $V_y(p)$ - операционное изображение сигнала управления;

$V_r(p)$ - операционное изображение сигнала с выхода задающего генератора до преобразования;

k_{iB} ($i = \overline{0,5}$), d_{jB} ($j = \overline{0,1}$) - весовые коэффициенты.

Из (19), (20) следует, что выполнение условия

$$V_y(p) = F(p) \quad (21)$$

или

$$V_r(p) / x(p) = \left(\sum_{i=0}^5 a_{iB} p^i \right) / \left(\sum_{i=0}^5 k_{iB} p^i \right) \quad (22)$$

осуществляется при такой настройке коэффициентов k_{iB} ($i = \overline{0,5}$), которая обеспечивает равенство

$$k_{iB} = a_{iB} \quad (i = \overline{0,5}). \quad (23)$$

При изменении параметров ЭДВ изменяются коэффициенты a_{iB} ($i = \overline{0,5}$) в соответствии с соотношением

$$a_{iB}^* = a_{iB} \pm \Delta a_{iB} \quad (i = \overline{0,5}). \quad (24)$$

Поэтому для выполнения условия (21) или (22) необходимо изменить соответственно и весовые коэффициенты k_{iB} ($i = \overline{0,5}$). Равенство (23) в этом случае принимает вид

$$k_{iB}^* = k_{iB} \pm \Delta k_{iB} = a_{iB}^* = a_{iB} \pm \Delta a_{iB} \quad (i = \overline{0,5}). \quad (25)$$

Структурная схема для реализации параметрической коррекции в этом случае аналогична структурной схеме, приведенной на рис.2, в которую необходимо дополнительно ввести еще каналы подстройки весовых коэффициентов при производных четвертого и пятого порядков от V_r .

Таким образом, в работе рассмотрен вопрос параметрической

коррекции систем воспроизведения вибраций на основе электродинамических вибровозбудителей. Приведены структурные схемы амплитудно-частотной коррекции для различных участков частотного диапазона воспроизводимых вибраций.

SUMMARY

The research deals with problems of the reproduction systems' parametric correction on the basis of electrodynamic vibro-excitors. Structural schemes of amplitude-frequency correction for different sections over the frequency range of the reproducing vibrations are represented.

СПИСОК ЛИТЕРАТУРЫ

1. Божко А.Е. Оптимальное управление в системах воспроизведения вибраций. - Киев: Наук. думка, 1977. - 219 с.
2. Божко А.Е., Пермяков В.И., Путыл В.А. Методы проектирования электромеханических вибровозбудителей. - Киев: Наук. думка, 1989. - 208 с.
3. Божко А.Е., Личкать Е.А., Пилищук О.Ф. и др. Резонансные виброиспытательные системы. - Киев: Наук. думка, 1992. - 248 с.

Поступила в редакцию 21 сентября 1998 г.

УДК 621.57

АНАЛИЗ ТЕМПЕРАТУРНОГО ПОЛЯ ЕСТЕСТВЕННОГО ГРУНТА

В.И.Шевель, асп.

Проблема обеспечения растущих потребностей в топливоэнергетических ресурсах включает комплекс задач по поиску и разработке альтернативных источников энергии и внедрению рациональных способов сокращения расхода топлива.

Одним из эффективных мероприятий по экономии топлива, а также по защите окружающей среды представляется широкое использование теплонасосных установок, преобразующих природную низкопотенциальную теплоту и тепловые отходы в теплоту более высокой температуры, пригодную для теплоснабжения. Грунт является одним из таких источников теплоты.

В верхних слоях земной оболочки, называемой почвами, или грунтами, в течение года происходят непрерывные изменения температурного и влажностного режимов. Совокупность этих изменений, главным образом, нагревание и охлаждение, увлажнение и высыхание, таяние и промерзание, существенно отражается на поступлении тепла на испаритель теплонасосной установки. Поэтому необходимо иметь полное представление о таких процессах, как поступление солнечной энергии на земную поверхность, её трансформирование в поверхностном слое, изменение теплового и влажностного режимов слоя от сезонных колебаний температуры. Иначе говоря, необходимо знать тепловой баланс земной поверхности.

Большая часть территории Украины представляет собой область с сезонно промерзающим слоем почв и горных пород. При промерзании и оттаивании грунтов происходит их пучение и осадка, достигающие в природных условиях 20-30 см, и другие опасные для целости сооружений явления. Тепловой режим подпочвенного слоя формируется в результате процессов тепло- и массообмена с атмосферным и лежащими глубже слоями, а также вследствие переноса тепла грунтовыми водами. К сожалению, до сих пор очень мало внимания уделялось изучению составляющих теплового баланса за зимний период, особенно теплового